

## اطلاعات جمعیتی مارکر D7S2425 در پنج قوم از جمعیت ایرانی: یک مارکر به شدت اطلاع دهنده در تشخیص‌های مولکولی ناشنوایی غیر سندرمی با وراثت اتوزومی مغلوب (ARNSHL)

مرجان مجتبوی نائینی<sup>۱</sup>، صادق ولیان بروجنی<sup>۲</sup>، مرتضی هاشم‌زاده چالشتی<sup>\*</sup>

### خلاصه

مقدمه: جهش‌های ژن *SLC26A4* پس از ژن *GJB2* مهم‌ترین عامل ژنتیکی ایجاد کننده ناشنوایی غیر سندرمی با وراثت اتوزومی مغلوب (ARNSHL) است که امروزه در تشخیص‌های مولکولی مورد بررسی قرار می‌گیرد. تعداد زیادی از مارکرهای STR مرتبط با این ناحیه در پایگاه داده‌ها معروف شده‌اند. در مطالعه حاضر خصوصیات و اطلاع دهنده‌گی مارکر D7S2425 با توالی‌های تکراری CA که در ناحیه ۳ ژن *SLC26A4* می‌باشد، در پنج قوم مختلف جمعیت ایرانی مورد بررسی قرار گرفت.

روش: تعیین ژنتوتیپ جایگاه ژنی مارکر D7S2425 در ۱۶۵ فرد شنواز غیر خویشاوند از پنج قوم فارس، آذربایجانی، گیلک و عرب توسط واکنش زنجیره‌ای پلیمراز (Polymerase chain reaction) یا PCR، ژل الکتروفوروز پلی‌اکریل آمید (PAGE) و در نهایت الکتروفورز فلورسنت موئینه صورت گرفت. به منظور تفسیر نتایج از نرم‌افزارهای Genepop، GeneMarker HID و Genescan Tools استفاده شد.

یافته‌ها: بررسی آلل‌های مارکر D7S2425 بیانگر حضور آلل در جمعیت ایرانی بود که آلل ۲۴۶ جفت باز با فراوانی ۰/۳۰ درصد فراوان‌ترین آلل به شمار آمد. بالاترین هتروزیگوستی مشاهده شده متعلق به قوم گیلک به میزان ۹۳/۹ درصد بود. بررسی تعادل Hardy-Weinberg equilibrium (HWE) یا Hardy-Weinberg (HWE) نشان داد که همه اقوام جمعیت ایرانی برای مارکر D7S2425 در تعادل بودند. در نهایت بررسی مقدار Polymorphism information content (PIC) مارکر اطلاع دهنده‌گی شدید (Highly informative) آن را در اقوام مورد بررسی جمعیت ایرانی نشان داد (مقدار PIC بالاتر از ۰/۷).

نتیجه‌گیری: نتایج به دست آمده در مطالعه حاضر مارکر D7S2425 را در تشخیص‌های مولکولی ناشنوایی غیر سندرمی وابسته به *SLC26A4* با توارث اتوزومی مغلوب به روش تحلیل پیوستگی در جمعیت ایرانی به شدت اطلاع دهنده معرفی می‌نماید.

واژه‌های کلیدی: مارکر D7S2425، *SLC26A4*، ناشنوایی غیر سندرمی اتوزومی مغلوب، جمعیت ایرانی

۱- کارشناس ارشد، مرکز تحقیقات سلوی و مولکولی، دانشکده پزشکی، دانشگاه علوم پزشکی شهر کرد، شهر کرد، ایران-۲- استاد، بخش ژنتیک، گروه زیست‌شناسی، دانشکده علوم، دانشگاه اصفهان، اصفهان، ایران-۳- استاد، مرکز تحقیقات سلوی و مولکولی، دانشکده پزشکی، دانشگاه علوم پزشکی شهر کرد، شهر کرد، ایران \*نویسنده مسؤول، آدرس پست الکترونیک: mchalesh@yahoo.com

دریافت مقاله: ۱۳۹۲/۹/۲؛ پذیرش مقاله: ۱۳۹۲/۱۱/۱۶؛ دریافت مقاله اصلاح شده: ۱۳۹۲/۳/۲۴

## مقدمه

اولویت آن‌ها در ژن‌های مختلف متفاوت است (۷). روش بررسی مستقیم شامل تعیین توالی ژنوم بیماران برای تشخیص جهش‌های ایجاد کننده بیماری می‌باشد که برای جهش‌های ژن *GJB2* به علت وسعت کم ژن و شیوع بالای جهش *G* ۳۵delG مناسب به نظر می‌رسد (۸)؛ در حالی که به دلیل وسعت زیاد ژن *SLC26A4* و پراکندگی جهش‌های مشاهده شده در جمعیت ایرانی در نواحی مختلف ژن و نیز شیوع به نسبت یکسان این جهش‌ها، روش مستقیم برای بررسی جهش‌های این ژن مطلوب نمی‌باشد و بهتر است به منظور صرفه‌جویی در وقت و هزینه از روش غیر مستقیم استفاده گردد (۹).

بررسی غیر مستقیم جهش‌ها یا تحلیل پیوستگی توسط مارکرهای چند شکلی متصل به ژن انجام می‌شود. یکی از مارکرهای مورد استفاده در بررسی غیر مستقیم توالی‌های تکراری، دسته ریزماهواره‌های موجود در ژنوم است که به مقدار بسیار زیاد و به شکل تصادفی در طول ژنوم پراکنده می‌باشد و به آن‌ها توالی‌های تکراری پشت سر هم (Short tandem repeats STR) یا tandem repeats می‌گویند (۱۰). چند شکلی‌های از تغییر در تعداد تکرارهای پشت سر هم مربوط به واحدهای توالی کوتاه ۲ تا ۴ نوکلتوتیدی ایجاد می‌شود. برای افزایش کیفیت بررسی در تحلیل پیوستگی باید از مارکرهای اطلاع دهنده استفاده شود. اطلاع دهنده‌گی یک مارکر توسط عامل ظرفیت اطلاعاتی چند شکلی (Polymorphism information content PIC) اندازه‌گیری می‌شود. مقدار PIC برای جایگاه‌های ژنی به صورت تعادل Hardy-Weinberg در جمعیت تعریف می‌شود که به تعداد آلل‌ها و هتروزیگوستی مارکر بستگی دارد. بنابراین در جمعیت‌های مختلف به دلیل ساختارهای ژنتیکی متفاوت، متغیر می‌باشد (۱۱، ۱۲). در نتیجه به منظور غربالگری بهینه

ناشنوایی مادرزادی متداول‌ترین نقص حسی در انسان است و شیوع آن ۱ در ۱۰۰۰ نوزاد می‌باشد (۱). عوامل مختلفی موجب ناشنوایی می‌گردند که بیش از ۵۰ درصد موارد مادرزادی، از نوع وراثتی هستند (۲). ناشنوایی وراثتی به دو دسته سندرمی و غیر سندرمی تقسیم می‌شود. نوع غیر سندرمی (NSHL) Nonsyndromic hearing loss (۳۰ درصد) و نوع سندرمی (SHL Syndromic hearing loss) یا (۷۰ درصد) کل ناشنوایی‌های وراثتی را تشکیل می‌دهد. ناشنوایی غیر سندرمی بر اساس سن آغاز پیش گفتاری (Prelingual) و پس گفتاری (Postlingual) خوانده می‌شود و با توجه به الگوی وراثتی به چهار دسته اتوزومی غالب (DFNA)، اتوزومی مغلوب (DFNB)، وابسته به X (DFN) و میتوکندریایی (DFNM) تقسیم می‌گردد (۳). از میان چهار گروه، ناشنوایی با وراثت اتوزومی مغلوب با فراوانی ۷۵-۸۰ درصد دارای بیش ترین فراوانی است (۴). شایع‌ترین جهش‌های مسؤول ناشنوایی غیر سندرمی با وراثت اتوزومی مغلوب در بسیاری از جمعیت‌های جهان از جمله جمعیت ایرانی جهش‌های ژن *GJB2* و پس از آن ژن *SLC26A4* می‌باشد (۵).

به علت ناهمگونی بالا و نقش کم بسیاری از ژن‌های ایجاد کننده ناشنوایی، غربالگری کامل جهش‌ها در تشخیص‌های مولکولی امکان‌پذیر نمی‌باشد و در تشخیص‌های مولکولی بسیاری از نقاط جهان غربالگری جهش‌ها تنها برای دو ژن *GJB2* و *SLC26A4* صورت می‌گیرد (۵). تشخیص مولکولی ناشنوایی بر پایه دو روش بررسی مستقیم جهش و بررسی غیر مستقیم توسط تحلیل پیوستگی انجام می‌شود. انتخاب روش در تشخیص‌های مولکولی به ویژگی‌های ژن مورد بررسی بستگی دارد و

استخراج شد و کمیت حاصل شده با Phenol-Chloroform استفاده از دستگاه NanoDrop1000 (Isogen, Rockland/Montchanin, USA) مورد بررسی قرار گرفت. همه مارکرهای STR ناحیه ژن SLC26A4 موجود در پایگاه UniSTS بررسی شد و در نهایت مارکر D7S2425 (UniSTS = ۳۶۰۴۹) به منظور مطالعه بیشتر به علت گزارش هتروزیگوستی بالا در پایگاه داده‌های از جمله center Genethon انتخاب گردید (۱۴).

پرایمرهای مورد استفاده در این تحقیقات پیشین و پایگاه داده UniSTS در سایت NCBI (National Center for Biotechnology Information) استخراج شد. توالي پرایمر پیشرو (F) و پرایمر پیرو (R) به صورت زیر می‌باشد که با انجام واکنش زنجیره‌ای پلیمراز (Polymerase chain reaction) قطعاتی با طول متغیر ۲۳۴-۲۴۶ جفت باز تولید می‌نماید (۱۵).

F: 5'-CTAGCCTGAGAAGACATTACCC-3'

R: 5'-CCTGTTTCAGATGTTTATCCA -3'

انجام روش PCR بر روی نمونه‌های DNA با استفاده از دستگاه ترموسایکلر (Thermocycler) ASTEC PC818-(Japan) توسط برنامه تاچ داون (Touch down) طبق جدول ۱ انجام شد. شرایط واکنش PCR شامل ۱ میکرولیتر از دو پرایمر (۱۰ pm)، ۱ میکرولیتر Taq DNA Polymerase و واحد بین‌الملل بر میکرولیتر، ۰/۵ میکرولیتر ۱۰ dNTP mix میلی مولار، ۲/۵ میکرولیتر Taq DNA buffer (۱۰X)، ۲ میکرولیتر کلرید منیزیم ۵۰ میلی مولار و ۲ میکرولیتر DNA (۸۰ نانوگرم) که با آب مقطر به حجم ۲۵ میکرولیتر رسانده شد.

جهش‌ها به روش غیر مستقیم، مارکرهای مورد استفاده باید در جمعیت‌های مختلف ارزیابی شود و مارکرهای اطلاع دهنده هر جمعیت به طور جداگانه معرفی گردد.

تاکنون هیچ مطالعه‌ای مبنی بر بررسی مارکرهای اطلاع دهنده مرتبط با ژن SLC26A4 در جمعیت ایرانی صورت نگرفته است. در پایگاه داده‌ها مارکرهای مختلفی در ناحیه ژن SLC26A4 معرفی شده است. یکی از مارکرهای پیوسته به ژن SLC26A4 D7S2425 می‌باشد که در ناحیه ۳ این ژن قرار دارد و دارای هتروزیگوستی بالا در پایگاه‌های گزارش شده می‌باشد. به همین دلیل برای بررسی در جمعیت ایرانی انتخاب شد (۱۳، ۱۴). در مطالعه حاضر خصوصیات و اطلاع دهنده مارکر D7S2425 در پنج قوم جمعیت ایرانی مورد بررسی و مقایسه قرار گرفت که نتایج آن می‌تواند موجب بهینه‌سازی تشخیص‌های مولکولی ناشنوایی‌های وابسته به ژن SLC26A4 و همچنین تقویت اطلاعات ساختاری ژنتیکی جمعیت ایرانی گردد.

### روش بررسی

از ۱۶۵ فرد شنای غیر خویشاوند در پنج قوم مختلف ایرانی «شامل فارس، آذربایجان، گیلک و عرب» و تعداد مساوی از زنان و مردان نمونه گیری به عمل آمد. پس از کسب رضایت‌نامه کتبی، با استفاده از روش نمونه گیری آسان ۱۰ میلی‌لیتر خون فرد در لوله حاوی یک میلی‌لیتر EDTA (Edetic acid) با غلظت ۰/۵ مولار جمع‌آوری شد و پس از ثبت اطلاعات افراد بر روی آن تا زمان آزمایش در دمای ۲۰-۲۰ درجه سانتی گراد نگهداری گردید. DNA نمونه‌های خون به روش استاندارد Deoxyribonucleic acid (DNA)

جدول ۱. برنامه بهینه شده نهایی دستگاه ترموسایکلر (Thermocycler) برای مارکر D7S2425

مرحله	دما (درجه سانتی گراد)	مدت	تعداد سیکل
۱	۹۴	۳ دقیقه	۱
۲	۹۴	۳۰ ثانیه	۱۰ سیکل تاچ داون (Touch down)
۳	۵۲	۳۰ ثانیه	۲۵ سیکل معمولی
۴	۷۲	۷ دقیقه	۱

وجود دارد، مناسب است. بنابراین باید برای مارکرهایی که تعداد زیادی آلل دارند مانند لوکوس‌های ریزماهواره استفاده شود (۱۷، ۱۸). این نرمافزار با استفاده از آزمون Fisher exact به بررسی تعادل می‌پردازد.

در نهایت با استفاده از نرمافزار Microsatellite Tools میزان PIC تخمین زده، به بررسی اطلاع دهنده‌گی مارکر در اقوام مختلف پرداخته شد (۱۹). عامل PIC یک شاخص محاسباتی برای تعیین اطلاع دهنده‌گی مارکرها به منظور استفاده در تحلیل پیوستگی می‌باشد. این شاخص برای جایگاه مارکرهای دارای تعادل Hardy-Weinberg در جمعیت تعریف می‌شود که به تعداد و فراوانی آلل‌ها و هتروزیگوستی مشاهده شده در جمعیت وابسته است.

### نتایج

محصول PCR نمونه‌های افراد شنواز غیر خویشاوند برای مارکر D7S2425 ابتدا با روش الکتروفورز بر روی ژل پلی‌اکریل آمید ۸ درصد مورد مشاهده و ارزیابی قرار گرفت و پس از اطمینان از وجود محصولات PCR مناسب، با استفاده از فلورسنت الکتروفورز موئینه تعیین ژنوتیپ و آلل‌بندی شد. این آلل‌بندی‌ها به دو صورت تعداد جفت باز طول محصولات و تعداد تکرارهای CA بیان گردید. نتایج حاصل به طور کلی نشان دهنده حضور مجموع ۸ آلل در جمعیت ایرانی است (شکل ۱). از میان تمام آلل‌ها قوم

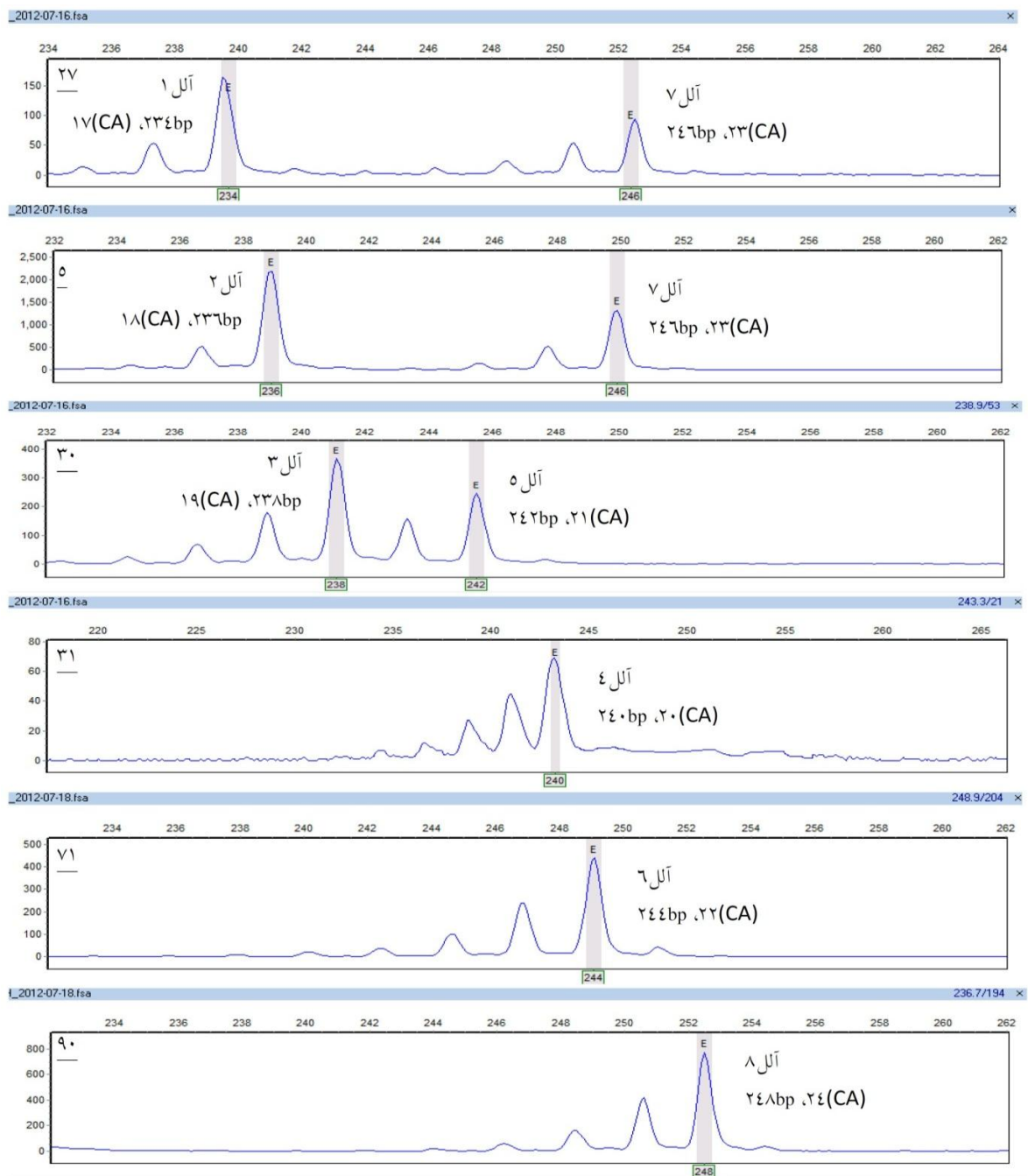
همه محصولات بر روی ژل پلی‌اکریل آمید ۸ درصد (نسبت ۱ بیس اکریل آمید: ۱۹ اکریل آمید) به مدت سه ساعت با ولتاژ ۲۰۰ ولت رانده و ژل به دست آمده با نیترات نقره رنگ آمیزی گردید. پس از تأیید کیفیت باندها، محصولات توسط الکتروفورز موئینه فلورسنت مورد بررسی قرار گرفتند. در سر ۵ پرایمر معکوس و به منظور تعیین طول محصولات PCR توسط تکنیک الکتروفورز موئینه، رنگ فلورسنت 6-Fam (رنگ آبی) افزوده و توسط دستگاه ABI Prism 3130 خوانده شد. در نهایت نتایج به صورت نمودار نمایش داده شد. نمودارهای به دست آمده توسط نرمافزار GeneMarker HID Human STR تعیین ژنوتیپ و آلل‌بندی شدند.

تحلیل آماری نتایج به دست آمده مانند تعیین ژنوتیپ افراد شامل تخمین فراوانی آللی، درجه هتروزیگوستی و فراوانی ژنوتیپی مشاهده شده و مورد انتظار فنوتیپ‌های هموژیگوت و هتروزیگوت و همچنین بررسی تعادل Hardy-Weinberg با استفاده از نرمافزار پایگاه GenePop انجام شد (۱۶). روش‌هایی که تاکنون برای بررسی تعادل-Hardy-Weinberg استفاده شده است در دو گروه قرار می‌گیرند. روش اول استفاده از آزمون  $\chi^2$  است. این آزمون وقتی که اندازه نمونه کوچک باشد و یا آلل‌های نادر وجود داشته باشد، قابل اعتماد نیست. روش دیگر بر اساس آزمون FISH می‌باشد. این آزمون وقتی که آلل‌های نادر

هتروزیگوستی و هموزیگوستی مشاهده شده و مورد انتظار برای هر یک از قوم‌ها به صورت جداگانه و در نهایت برای جمعیت ایرانی توسط نرم‌افزار GenePop محاسبه شد که به تفصیل در جدول ۳ آمده است.

فارس ۷ آلل، آذری ۶ آلل، ترکمن ۷ آلل، گیلک ۶ آلل و عرب ۸ آلل را دارا بودند که در جدول ۲ فراوانی آلل‌ها به طور جداگانه در هر قوم و به طور کلی در جمعیت ایرانی بیان شده است. پس از تعیین ژنوتیپ افراد، درصد

شکل ۱. تعداد آلل‌های مارکر D7S2425 نمونه‌های ۲۷، ۵، ۳۰ و ۹۰ هتروزیگوت و نمونه‌های ۳۱، ۷۱ و ۹۰ هموزیگوت



در این ۶ نمونه ۸ آلل مشاهده شده در همه نمونه‌ها نشان داده شده است

جدول ۲. آلل‌ها و درصد فراوانی‌های آللی مارکر D7S2425 در اقوام مختلف و جمعیت ایرانی

شماره	نام آلل	جمعیت ایرانی	فراوانی آللی	آذری	ترکمن	گیلک	عرب	فراوانی آللی	آذری	ترکمن	گیلک	عرب	فراوانی آللی	آذری	ترکمن	گیلک	عرب	فراوانی آللی	آذری	ترکمن	گیلک	عرب
	آلل	کلیه اقوام (جمعیت ایرانی)	فارس	آذری	ترکمن	گیلک	عرب	کلیه اقوام (جمعیت ایرانی)	فارس	آذری	ترکمن	گیلک	عرب	کلیه اقوام (جمعیت ایرانی)	فارس	آذری	ترکمن	گیلک	عرب			
۱	۲۳۴	۲۴۰	۲۴۲	۲۴۴	۲۴۶	۲۴۸	۸	۱۷	۲۴۶	۲۴۴	۲۴۲	۲۴۰	۷	۶	۵	۴	۳	۲	۱			
۲	۱۸CA	۱۹CA	۲۰CA	۲۱CA	۲۲CA	۲۳CA	۲۴CA	۹/۰۹	۳۵/۱۵	۱۷/۸۹	۲۴/۸۵	۶/۳۶	۲/۴۲	۳/۹۳	۰/۳۰	-	-	-	-			
۳	۱۸CA	۱۹CA	۲۰CA	۲۱CA	۲۲CA	۲۳CA	۲۴CA	۱۰/۶۱	۳۳/۳۳	۱۸/۱۸	۲۲/۸۳	۴/۵۵	۱/۵۲	۹/۰۹	-	-	-	-	-			
۴	۶/۰۶	۷/۵۸	۷/۵۸	۷/۵۸	۷/۵۸	۷/۵۸	۷/۵۸	۹/۰۹	۳۰/۳۰	۱۵/۱۵	۳۳/۳۳	۶/۰۶	۴/۵۵	۳/۰۳	۱/۰۲	-	-	-	-			
۵	۶/۰۶	۱۲/۱۲	۱۵/۱۵	۲۷/۲۷	۲۷/۲۷	۲۷/۲۷	۲۷/۲۷	۱۲/۱۲	۳۳/۳۳	۱۵/۱۵	۲۷/۲۷	۹/۰۹	-	۳/۰۳	-	-	-	-	-			
۶	۶/۰۶	۴۰/۹۱	۱۲/۶۴	۲۴/۲۴	۴/۵۵	۳/۰۳	۶/۰۶	۶/۰۶	-	-	-	-	-	-	-	-	-	-	-			
۷	۶/۰۶	-	-	-	-	-	-	-	-	-	-	-	-	-	-	-	-	-	-			

با توجه به اطلاعات به دست آمده از فراوانی آلل‌ها و هتروزیگوستی مشاهده شده، مقدار PIC در هر قوم به طور جداگانه توسط نرم‌افزار Tools Microsatellite محسابه شد. مقدار P برای اقوام مختلف به ترتیب فارس ۷۵۱/۰، آذری ۰/۷۰۴، ترکمن ۰/۷۲۲، گیلک ۰/۷۳۲ و عرب ۰/۷۱۱ و برای کلیه اقوام ۰/۷۳۵ به دست آمد و نشان می‌دهد که تمام مقادیر PIC بزرگتر از ۰/۷ می‌باشد.

### بحث

مطالعه حاضر به منظور شفاف‌سازی ویژگی‌ها و خصوصیات مارکر D7S2425 در جمعیت ایرانی و در اقوام مختلف آن صورت گرفت که خود به انتخاب بهینه مارکرهای مورد استفاده در تشخیص مولکولی جهش‌های SLC26A4 مسئول ناشنوایی به روش غیر مستقیم کمک می‌نماید و در پیشرفت روش‌های تشخیصی جمعیت ایرانی مؤثر می‌باشد. همچنین نتایج مطالعه حاضر موجب تقویت اطلاعات ساختاری ژنتیکی جمعیت ایرانی و اقوام مختلف آن گردید.

در مطالعه حاضر از بین ۸ آلل شناسایی شده بر روی مارکر D7S2425، آلل ۷ (که دارای طول محصول PCR ۲۴۶

تعادل Hardy-Weinberg بیان می‌کند که در جمعیتی با جفت‌گیری تصادفی بدون انتخاب، جهش یا مهاجرت فراوانی‌های آللی و فراوانی‌های ژنتیپی از نسلی به نسل دیگر ثابت است. در این مطالعه تعادل Hardy-Weinberg برای جایگاه مارکر در قوم‌های مختلف و در جمعیت ایرانی توسط نرم‌افزار GenePop بررسی شد. این نتایج مقدار P محسابه شده از آزمون Fisher exact می‌باشد و در قوم فارس، آذری، ترکمن، گیلک و عرب به ترتیب با مقادیر ۰/۰۷۵، ۰/۰۷۴، ۰/۰۸۴۱، ۰/۰۶۶۷ و ۰/۰۲۱۴ مشخص شد. لازم به ذکر است که مقدار P برای کلیه اقوام برابر با ۰/۹۲۹ بود. مقدار P بزرگ‌تر از ۰/۰۵ برای مارکر D7S2425 در جمعیت ایرانی نشان دهنده حضور تعادل Hardy-Weinberg در این جمعیت می‌باشد. همچنین مقدار P محسابه شده برای پنج قوم مورد بررسی بزرگ‌تر از ۰/۰۵ به دست آمد و در نتیجه همه اقوام برای جایگاه مارکر مورد بررسی در تعادل Hardy-Weinberg می‌باشند و این موضوع نشان می‌دهد که عوامل Weinberg بر هم زننده تعادل Hardy-Weinberg در جمعیت ایرانی برای جایگاه مارکر D7S2425 چشمگیر و قابل توجه نبوده است. در نهایت به دلیل حضور جایگاه ژنی مارکر مورد بررسی در تعادل Hardy-Weinberg در اقوام مورد بررسی و

درصد بود. همچنین آلل ۲۳۶ جفت باز با فراوانی ۳/۰۳ درصد کمترین فراوانی را در این قوم داشت. آلل های ۲۳۴ و ۲۳۸ جفت باز در این قوم مشاهده نشد. در نهایت قوم عرب از میان ۸ آلل مشاهده شده جمعیت ایرانی، هر ۸ آلل را دارا بود که در میان آنها آلل ۲۴۶ جفت باز با فراوانی ۴۰/۹۱ درصد و آلل ۲۳۶ جفت باز با فراوانی ۱/۵۲ درصد به ترتیب شایع ترین و کمیاب ترین به شمار می آیند. همان طور که بررسی ها نشان می دهد این مارکر در اقوام مختلف دارای بیش از ۶ آلل می باشد.

درصد هتروزیگوستی و هموزیگوستی مشاهده شده و مورد انتظار اقوام مورد بررسی و به طور کلی جمعیت ایرانی در جدول ۳ آمده است. درصد هتروزیگوستی مشاهده شده برای مارکر D7S2425 در جمعیت ایرانی ۷۵/۸ درصد بود که کمی کمتر از درصد هتروزیگوستی مورد انتظار ۷۷/۱ درصد) می باشد. درصد هتروزیگوستی گزارش شده توسط MGS Genethon center به ترتیب ۶۳ و ۶۴ درصد به دست آمد. در نتیجه درصد هتروزیگوستی این مارکر در جمعیت ایرانی نسبت به این دو گزارش حدود ۱۲ درصد بیشتر است (۱۳، ۱۴). مطلب فوق نشان دهنده این است که مارکر D7S2425 در جمعیت ایرانی از ارزش بیشتری نسبت به سایر جمعیت ها برخوردار است. بالاترین درصد هتروزیگوستی مشاهده شده متعلق به قوم گیلک و پایین ترین دلایل پایین بودن درصد هتروزیگوستی، تمايل افراد به درون زادآوری مهم ترین دلایل پایین بودن درصد هتروزیگوستی، تمایل افراد به افزایش هموزیگوستی و کاهش هتروزیگوستی می گردد، اما به دلیل پایین بودن درصد هتروزیگوستی در قوم فارس که در آن نسبت به سایر اقوام درون زادآوری قومی به میزان کمتری دیده می شود و همچنین بالا بودن آن در قوم گیلک، به نظر می رسد که عوامل دیگری نیز در تعیین درصد هتروزیگوستی نقش دارد.

جفت باز است) با فراوانی ۳۵/۱۵ درصد و آلل ۱ (که دارای طول محصول PCR ۲۳۴ جفت باز می باشد) با فراوانی ۰/۳۰ درصد به ترتیب بیشترین و کمترین فراوانی را در جمعیت ایرانی داشت (جدول ۲). بر اساس اطلاعات پایگاه داده UniSTS ( $\text{UniSTS} = ۳۶۰.۴۹$ )، آلل های این مارکر دارای محدوده محصول PCR ۲۳۴-۲۴۶ جفت باز می باشد. پایگاه داده Genethon center (Mammalian genotyping service) گزارش مشابهی با پایگاه داده UniSTS ارایه داده است (۱۳، ۱۴). مطالعه بر روی جمعیت ایرانی نشان می دهد که علاوه بر آلل های فوق، آلل دارای ۲۴۸ جفت باز نیز در جمعیت ایرانی وجود دارد و دارای فراوانی آللی به نسبت بالا (۹/۰۹ درصد) در این جمعیت می باشد. در نتیجه می توان آلل ۲۴۸ را به عنوان یک آلل جدید معرفی نمود.

ژنوتیپ های بررسی شده از قوم فارس حاکی از حضور ۷ آلل از این مارکر بود که در میان آنها آلل ۲۳۴ جفت بازی حضور نداشت. در این قوم آلل ۲۴۶ جفت باز با فراوانی ۳۳/۳۳ درصد شایع ترین و آلل ۲۳۸ جفت باز با فراوانی ۱/۵۲ درصد کمیاب ترین آلل ها بود. قوم آذری از ۸ آلل جمعیت ایرانی تنها ۶ آلل را دارا بود که از میان آنها آلل ۲۴۶ جفت باز با فراوانی ۳۷/۸۸ درصد و آلل ۲۳۸ با فراوانی ۴/۵۵ درصد به ترتیب بیشترین و کمترین فراوانی را داشت. در قوم آذری نیز دو آلل ۲۳۴ و ۲۳۶ جفت بازی مشاهده نشد (جدول ۲). بررسی های انجام شده بر روی افراد قوم ترکمن نشان دهنده حضور ۷ آلل از مارکر D7S2425 در این قوم می باشد و آلل ۲۴۲ جفت باز با فراوانی ۳۳/۳۳ درصد شایع ترین و آلل ۲۳۶ جفت باز با فراوانی ۱/۵۲ درصد کمیاب ترین بود. بررسی ژنوتیپ های افراد این قوم حاکی از عدم حضور آلل ۲۳۴ جفت بازی بود.

گیلکی ها نیز ۶ آلل از مارکر مورد بررسی را دارا بودند که فراوان ترین آلل از نوع ۲۴۶ جفت باز با فراوانی ۳۳/۳۳

جدول ۳. درصد هتروزیگوستی و هموزیگوستی مشاهده شده و مورد انتظار مارکر D7S2425 با استفاده از پایگاه داده‌ای *GenePop*

القوم	کلیه اقوام (جمعیت ایرانی)	۷۵/۸	۷۷/۱	هموزیگوستی مشاهده شده (درصد)	هتروزیگوستی مشاهده شده (درصد)	هموزیگوستی مورد انتظار (درصد)
فارس	۶۶/۷	۷۹/۴	۳۳/۳	۲۰/۶	۲۴/۲	۲۲/۹
آذربایجان غربی	۶۶/۷	۷۵/۴	۳۳/۳	۲۴/۶	۲۴/۲	۲۲/۹
ترکمن	۷۵/۸	۷۷/۱	۲۴/۲	۲۲/۹	۲۴/۲	۲۲/۹
گیلک	۹۳/۹	۷۷/۹	۶/۱	۲۲/۱	۲۴/۲	۲۴/۴
عرب	۷۵/۸	۷۵/۶	۲۴/۲	۲۴/۴		

Highly PIC بالاتر از ۰/۷ نشان دهنده اطلاع دهنده‌گی شدید (informative) مارکر در تحلیل پیوستگی برای ژن متصل به آن است. هنگامی که مقدار آن بین ۰/۴۴ و ۰/۷۰ باشد، مارکر از اطلاع دهنده‌گی متوسط (Moderately informative) برخوردار است و اگر کمتر از ۰/۴۴ باشد، مارکر اطلاع دهنده ضعیفی به شمار می‌آید (۱۲). مقدار PIC محاسبه شده در این مطالعه در پنج قوم مختلف و جمعیت ایرانی بالاتر از ۰/۷ به دست آمد. بنابراین مارکر D7S2425 در پنج قوم مورد بررسی و به طور کلی جمعیت ایرانی برای بررسی جهش‌های ژن SLC26A4 به روش تحلیل پیوستگی به شدت اطلاع دهنده می‌باشد. مارکر D7S2425 از میان اقوام مختلف از شدیدترین اطلاع دهنده‌گی برای قوم فارس برخوردار است ( $PIC = 0/751$ ). با توجه به کمتر بودن هتروزیگوستی و تعداد آلل‌های گزارش شده توسط پایگاه داده‌ها، به نظر می‌رسد که جمعیت ایرانی مقدار PIC بالاتری در این مارکر دارند و در نتیجه نسبت به سایر جمعیت‌ها از اهمیت تشخیصی بیشتری نیز برخوردار هستند.

پس از تخمین فراوانی‌های آللی و ژنتیکی داده‌ها، وجود تعادل Hardy-Weinberg مورد بررسی قرار گرفت و بیان شد که در جمعیتی با جفت‌گیری تصادفی بدون انتخاب، جهش یا مهاجرت فراوانی‌های آللی و فراوانی‌های ژنتیکی از نسلی به نسل دیگر ثابت است (۲۰). در مطالعه حاضر به منظور بررسی تعادل Hardy-Weinberg از نرم‌افزار GenePop استفاده گردید. فرض صفر در این آزمون مبنی بر حضور تعادل صورتی که مقدار P کوچک‌تر از ۰/۰۵ به دست آید، فرضیه صفر مبنی بر وجود تعادل رد می‌شود. علت انحراف از تعادل Hardy-Weinberg می‌تواند به دلیل عوامل ژنتیک جمعیت مانند درون‌زایی و یا مهاجرت باشد (۲۱).

عامل ظرفیت اطلاعاتی چند شکلی (PIC) یک عامل محاسباتی برای تعیین اطلاع دهنده‌گی مارکرها به منظور استفاده در تحلیل پیوستگی می‌باشد. این عامل برای جایگاه مارکرهای دارای تعادل Hardy-Weinberg در جمعیت تعریف می‌شود که به تعداد و فراوانی آلل‌ها و هتروزیگوستی مشاهده شده در جمعیت وابسته است. مقدار

## نتیجه‌گیری

مطالعه حاضر نشان می‌دهد که مارکر D7S2425 که در سمت ۳ ژن *SLC26A4* واقع شده است و به آن متصل می‌باشد، دارای اطلاع دهنده‌گی شدید در تشخیص‌های مولکولی ناشنوایی غیر سندرمی وابسته به *SLC26A4* با توارث اتوزومی مغلوب به روش تحلیل پیوستگی در جمعیت ایرانی و نسبت به سایر جمعیت‌ها دارای ارزشمندی بیشتری نیز می‌باشد.

## References

1. Marazita ML, Ploughman LM, Rawlings B, Remington E, Arnos KS, Nance WE. Genetic epidemiological studies of early-onset deafness in the U.S. school-age population. *Am J Med Genet* 1993; 46(5): 486-91.
2. Lee KY, Choi SY, Bae JW, Kim S, Chung KW, Drayna D, et al. Molecular analysis of the GJB2, GJB6 and SLC26A4 genes in Korean deafness patients. *Int J Pediatr Otorhinolaryngol* 2008; 72(9): 1301-9.
3. Hilgert N, Smith RJ, Van CG. Forty-six genes causing nonsyndromic hearing impairment: which ones should be analyzed in DNA diagnostics? *Mutat Res* 2009; 681(2-3): 189-96.
4. Hone SW, Smith RJH. Genetic screening for hearing loss. *Clinical Otolaryngology & Allied Sciences* 2003; 28(4): 285-90.
5. Smith RJ, Robin NH. Genetic testing for deafness--GJB2 and SLC26A4 as causes of deafness. *J Commun Disord* 2002; 35(4): 367-77.
6. Tabatabaiefar MA, Alasti F, Montazer Zohour M, Shariati L, Farrokhi E, Farhud DD, et al. Genetic linkage analysis of 15 DFNB Loci in a group of Iranian families with autosomal recessive hearing loss. *Iran J Public Health* 2011; 40(2): 34-48.
7. Zhao H, Pfeiffer R, Gail MH. Haplotype analysis in population genetics and association studies. *Pharmacogenomics* 2003; 4(2): 171-8.
8. Rabionet R, Zelante L, Lopez-Bigas N, D'Agruma L, Melchionda S, Restagno G, et al. Molecular basis of childhood deafness resulting from mutations in the GJB2 (connexin 26) gene. *Hum Genet* 2000; 106(1): 40-4.
9. Yazdanpanahi N, Chaleshtori MH, Tabatabaiefar MA, Noormohammadi Z, Farrokhi E, Najmabadi H, et al. Two novel SLC26A4 mutations in Iranian families with autosomal recessive hearing loss. *Int J Pediatr Otorhinolaryngol* 2012; 76(6): 845-50.
10. The International HapMap project. *Nature* 2003; 426(6968): 789-96.
11. Elahi E, Kumm J, Ronaghi M. Global genetic analysis. *J Biochem Mol Biol* 2004; 37(1): 11-27.
12. Hildebrand CE, Torney DC, Wagner RP. Informativeness of polymorphic DNA markers. *Los Alamos Science* 1992; 20: 100-2.
13. National Heart LaBI. Mammalian Genotyping Service [Online]. [cited 2006 Dec]; Available from:

- <http://research.marshfieldclinic.org/genetics/home/index.asp>
14. Genethon Center database. Available at: URL: <http://www.genethon.fr/> Accessed July 10, 2012
  15. UniSTS Database. Available at: URL: <http://www.ncbi.nlm.nih.gov/unists/> Accessed July 2012
  16. Raymond M, Rousset F. GENEPOP (Version 1.2): Population Genetics Software for Exact Tests and Ecumenicism. *J Hered* 1995; 86(3): 248-9.
  17. Weir BS. Genetic data analysis 2. 2<sup>nd</sup> ed. Sunderland, MA: Sinauer Associates; 1996.
  18. Engels WR. Exact Tests for Hardy-Weinberg Proportions. *Early Online* 2009; 183(4): 1431-41.
  19. Park SDE. Trypanotolerance in West African cattle and the population genetic effects of selection [Thesis]. Dublin, Ireland: University of Dublin 2001.
  20. Guo SW, Thompson EA. Performing the exact test of Hardy-Weinberg proportion for multiple alleles. *Biometrics* 1992; 48(2): 361-72.
  21. Balding DJ, Bishop M, Cannings C. Handbook of statistical genetics. 3<sup>rd</sup> ed. Hoboken, NJ: John Wiley & Sons; 2008.

## Population Data on D7S2425 Marker in Five Ethnic Groups of the Iranian Population: A Highly Informative Marker for Molecular Diagnosis of ARNSHL

**Marjan Mojtabavi Naeini, M.Sc.<sup>1</sup>, Sadeq Vallian Boroujeni, Ph.D.<sup>2</sup>,**

**Morteza Hashemzadeh Chaleshtori, Ph.D.<sup>3\*</sup>**

1. M.Sc. Cellular and Molecular Research Center, School of , Shahrekord University of Medical Sciences, Shahrekord, Iran

2. Professor, Genetics Division, Department of Biology, School of Science, University of Isfahan, Isfahan, Iran

3. Professor, Cellular and Molecular Research Center, School of Medicine, Shahrekord University of Medical Sciences, Shahrekord, Iran

\* Corresponding author; e-mail: mchalesh@yahoo.com

(Received: 14 June 2013      Accepted: 5 Feb. 2014)

### **Abstract**

**Background & Aims:** *SLC26A4* gene mutations are the second identifiable genetic cause of autosomal recessive nonsyndromic hearing loss (ARNSHL) after *GJB2* mutations and are currently investigated in molecular diagnosis. In databases, several potential STR markers related to this region have been introduced. In this investigation, the characteristics and informativeness of D7S2425 CA repeat STR marker in *SLC26A4* gene region was examined in five ethnic groups of the Iranian population.

**Methods:** The locus was genotyped in 165 individuals of five different ethnic groups including Fars, Azari, Turkmen, Gilaki, and Arab using polymerase chain reaction (PCR) followed by polyacrylamide gel electrophoresis (PAGE) and fluorescent capillary electrophoresis. In this study, the results were analyzed by GeneMarker HID, Human STR Identity software, GenePop program, and Microsatellite Tools.

**Results:** Analysis of the allelic frequency revealed the presence of 8 alleles for D7S2425 marker in the Iranian population, of which the 246bp allele at the D7S2425 locus with 0.30% frequency was the most frequent. The 93.9% observed heterozygosity of the Gilak ethnic group was the highest among all ethnic groups. Analysis of deviations of the Hardy-Weinberg equilibrium demonstrated that all the ethnic groups were in equilibrium ( $P > 0.05$ ) for D7S2425 locus. Finally, analysis of PIC value revealed that the D7S2425 marker could be considered as a highly informative marker in each ethnic group of the Iranian population (PIC value above 0.7).

**Conclusion:** Our data suggested that D7S2425 could be introduced as a highly informative marker in molecular diagnosis of *SLC26A4* based ARNSHL by Linkage analysis.

**Keywords:** D7S2425 marker, *SLC26A4*, Autosomal recessive nonsyndromic hearing loss (ARNSHL), Iranian population

Journal of Kerman University of Medical Sciences, 2014; 21(6): 540-550